

### 3.5 分散メモリ型計算機上での並列化

#### ブロックサイクリック列分割による並列化

行列にブロックサイクリック列分割を施した図を Fig.1 に示す.

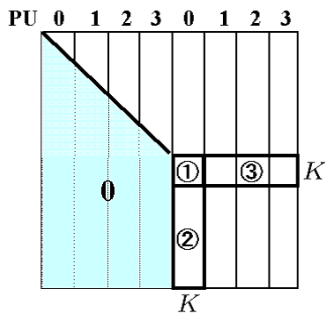


Fig. 1 ブロックサイクリック列分割 (PU 数 4 の例)

また, このとき

$n$ : 行列サイズ

$b$ : ブロックの幅

$N$ : ブロック単位で見たサイズ ( $= \frac{n}{b}$ )

$P$ : プロセッサ数

Fig.1 の 1( で囲まれた数字の 1):  $A_{KK}$

Fig.1 の 2( で囲まれた数字の 2):  $L_{IK}$  (ピボット列)

Fig.1 の 3( で囲まれた数字の 3):  $U_{KJ}$  (ピボット行)

である. ここで, 第  $K$  ブロック段で行われる処理を以下に列挙する.

#### 第 $K$ ブロック段での処理

1. 第  $k$  列を持つプロセッサ ( $\text{MOD}(K-1, P)$ ) は  $A_{KK} = L_{KK}U_{KK}$  を計算 (LU 分解).
2. 第  $k$  列を持つプロセッサは  $L_{IK} = A_{IK}U_{KK}^{-1} (I = K+1, \dots, N)$  を計算.
3. 第  $K$  列を持つプロセッサは  $L_{IK} (I = K, \dots, N)$  を全プロセッサに送信 (ブロードキャスト).
4. 各プロセッサは  $L_{IK}$  を受け取る.
5. 各プロセッサは自分の担当する列について  $U_{KJ} = L_{KK}^{-1}A_{KJ}$  を計算.
6. 各プロセッサは自分の担当する列について  $A_{IJ} := A_{IJ} - L_{IK}U_{KJ}$  を計算.

並列化の効果

- 演算量に関して

$$\frac{N}{P} \gg 1 \quad \left( \frac{n}{bP} \gg 1 \right)$$

上記の式を満たすならば負荷は均等になる. 負荷が均等な条件下において, 1 ブロック段・1 ブロックあたりの演算量は Fig.2 より

$$\frac{O(n^2 \cdot b)}{P} = O\left(\frac{n^2 \cdot b}{P}\right)$$

となる.

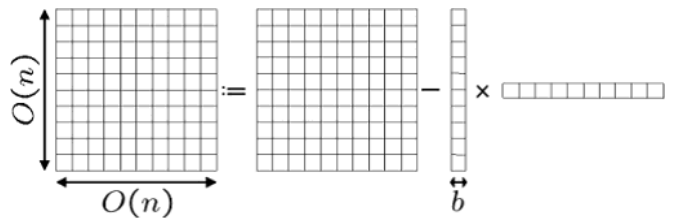


Fig. 2 1 ブロック段・1 プロセッサあたりの演算量

- 通信量に関して

1 ブロック段で送るデータ = ブロックピボット列であるため, 1 回の通信量は

$$O(n) \times b = O(nb)$$

また,  $P$  個のプロセッサの場合には  $\log_2 P$  段の通信が必要となる (Fig.3).

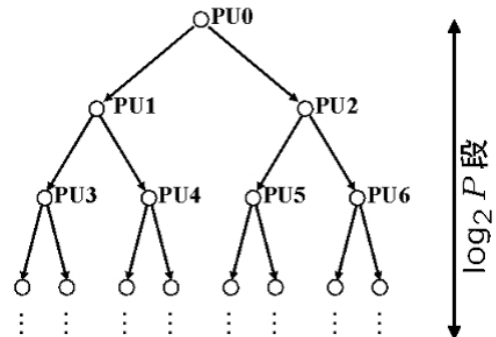


Fig. 3 ブロードキャストの通信パターン

これより, 通信量は

$$O(nb) \times \log_2 P = O(nb \cdot \log_2 P)$$

となる。

これら演算時間，通信時間およびその合計である全実行時間をグラフに示すと Fig.4 のようになる。Fig.4 を見る

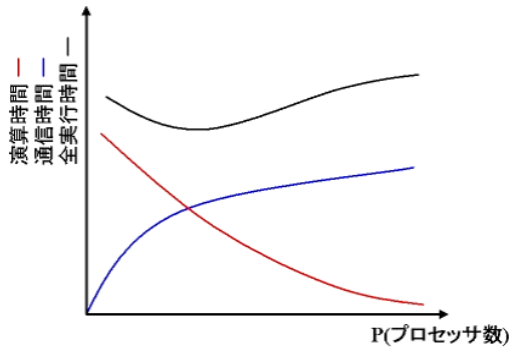


Fig. 4 演算時間，通信時間および全実行時間

と，あるプロセッサ数  $P$  で全実行時間が最小値をとり，その数を超えると  $P$  が大きくなるごとに全実行時間は増大する (= 性能が低下する) ことがわかる。また  $P$  が大きくなりすぎると，負荷が均等になる条件  $\frac{N}{P} \gg 1$  が成り立たないといった問題も浮上する。

このような問題を解決するための方法として，分割方式を列分割から双方向分割に変える方法が提案された。

### 双方向のブロックサイクリック分割による並列化

行列に双方向のブロックサイクリック分割を施した図を Fig.5 に示す。

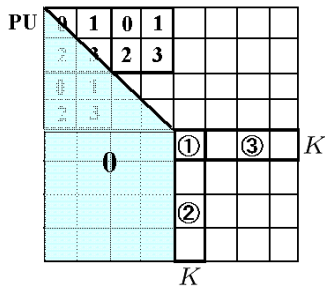


Fig. 5 双方向のブロックサイクリック分割 (PU 数 4 の例)

このとき

Fig.1 の 1( で囲まれた数字の 1):  $A_{KK}$

Fig.1 の 2( で囲まれた数字の 2):  $L_{IK}$  (ピボット列)

Fig.1 の 3( で囲まれた数字の 3):  $U_{KJ}$  (ピボット行)

である。ここで，第  $K$  ブロック段で行われる処理を以下に列挙する。

#### 第 $K$ ブロック段での処理

1.  $A_{KK}$  を持つ PU(プロセッサ) は  $A_{KK} = L_{KK}U_{KK}$  と LU 分解。

2.  $A_{KK}$  を持つ PU は  $U_{KK}$  を縦方向にブロードキャスト。
3. 第  $K$  列担当の PU は自分の担当するブロックについて  $L_{IK} = A_{IK}U_{KK}^{-1}$  を計算。
4.  $A_{KK}$  を持つ PU は  $L_{KK}$  を横方向にブロードキャスト。
5. 第  $K$  行担当の PU は自分の担当するブロックについて  $U_{KJ} = L_{KK}^{-1}A_{KJ}$  を計算。
6. 第  $K$  列担当の PU は自分の持つ  $L_{IK}$  を横方向にブロードキャスト。
7. 第  $K$  行担当の PU は自分の持つ  $U_{KJ}$  を縦方向にブロードキャスト。
8. 各 PU は自分の担当するブロックについて  $A_{IJ} := A_{IJ} - L_{IK}U_{KJ}$  を計算。

#### 並列化の効果

演算量 (1 ブロックあたり)

負荷が十分均等 ( $\frac{n}{b\sqrt{P}} \gg 1$ ) ならば

$$o\left(\frac{n^2b}{P}\right)$$

上記の演算量はブロックサイクリック列分割の演算量と等しい。

通信量

ブロードキャストする回数は 4 回あるが， $L_{KK}, U_{KK}$  はブロックに関する情報であり  $L_{IK}, U_{KJ}$  のブロック列・行に関する情報に比べ小さいため無視する。

- データ量 (1 プロセッサあたり)

$$o\left(\frac{nb}{\sqrt{P}}\right)$$

- 送り先の数

$$\sqrt{P}\text{個}$$

\* 送り回数は  $\log_2 \sqrt{P}$  となる。

- 通信時間

$$o\left(\frac{nb}{\sqrt{P}}\right) \times \log_2 \sqrt{P} = o\left(nb \frac{\log_2 P}{\sqrt{P}}\right) \rightarrow 0 \quad (P \rightarrow \infty)$$

cf) ブロックサイクリック分割における通信時間は  $o(nb \log_2 P)$  である。

Fig.6 に演算時間，通信時間および全実行時間の関係を示す。プロセッサ数が大きくなると全実行時間は減少することがわかる。

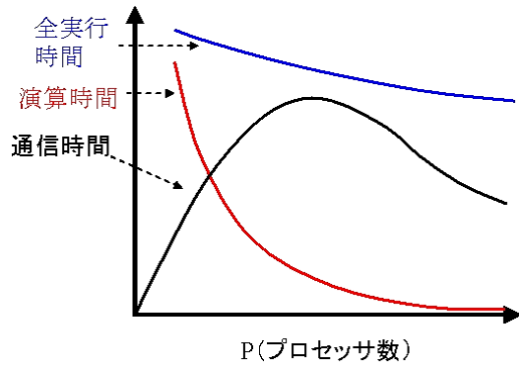


Fig. 6 演算時間，通信時間および全実行時間の関係

### 通信の隠蔽による高速化 (演算と通信のオーバーラップ)

- 第  $K$  列を持つ PU は  
 $A_{KK} = L_{KK}U_{KK}$  と LU 分解 .
- 第  $K$  列を持つ PU は  
 $L_{IK} = A_{IK}U_{KK}^{-1} (I = K + 1, \dots, N)$  を計算 .
- 第  $K$  列を持つ PU は  
 $U_{K,K+1} = L_{KK}^{-1}A_{K,K+1} (I = K + 1, \dots, N)$  を計算 .
  - $A_{K+1,K+1} = L_{K+1,K+1}, U_{K+1,K+1}$  と LU 分解 (次の対角ブロックの LU 分解) .
  - $L_{I,K+1} = A_{I,K+1}U_{K+1,K+1}^{-1} (I = K + 2, \dots, N)$  (次のブロックピボット列の計算) .
  - $L_{I,K+1} (I = K + 1, \dots, N)$  をブロードキャスト (次のブロックピボット列のブロードキャスト) .
  - 第  $K + 1$  列以外に対する処理を行う .

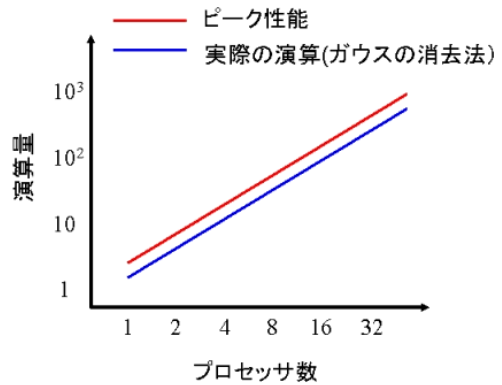


Fig. 8 プロセッサ数と演算量の関係

Fig.7 に演算と通信のオーバーラップの関係を示す . Fig.8

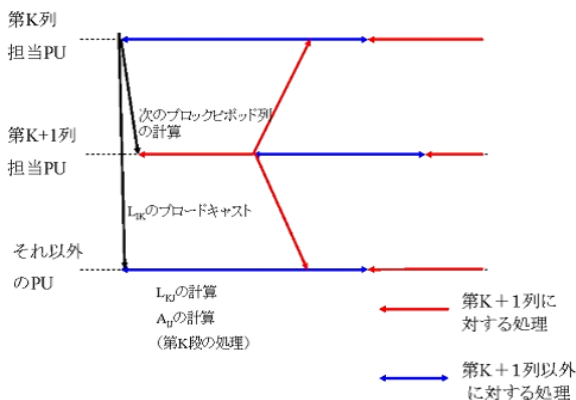


Fig. 7 演算と通信のオーバーラップの関係

に通信の隠蔽後のプロセッサ数と演算量の関係を示す . 通信の隠蔽による高速化によりピーク性能に近い性能が出ていることが分かる .